

```

> restart;
|
| РЕШЕНИЕ ЗАДАЧ ПО КВАНТОВОЙ МЕХАНИКЕ
| (В. М. ГАЛИЦКИЙ, Б. М. КОРНАКОВ, В. И. КОГАН.
| ЗАДАЧИ ПО КВАНТОВОЙ МЕХАНИКЕ
| Журавлев В.М.
| Ульяновский государственный университет, 2020
|
|
| ЦЕНТРАЛЬНОЕ ПОЛЕ
|
|
> with(plots):
with(plottools):

```

**формат графиков**

```

> frm:=axes=boxed,gridlines=true,labelfont=[TIMES,BOLD,16],titlefont=
[TIMES,BOLD,20],font=[TIMES,BOLD,20],symbol=solidcircle,symbolsize=20,legendstyle=[font=[TIMES,BOLD,18],
location=bottom],size=[900,600];
frm3d:=axes=boxed,labelfont=[TIMES,BOLD,18],titlefont=[TIMES,
BOLD,20],font=[TIMES,BOLD,20],symbol=solidcircle,symbolsize=18;
frm := axes = boxed, gridlines = true, labelfont = [TIMES, BOLD, 16], titlefont = [TIMES, BOLD, 20], font = [TIMES, BOLD, 20], symbol = solidcircle, symbolsize = 20, legendstyle = [font = ["TIMES", BOLD, 18], location = bottom], size = [900, 600]
frm3d := axes = boxed, labelfont = [TIMES, BOLD, 18], titlefont = [TIMES, BOLD, 20], font = [TIMES, BOLD, 20], symbol = solidcircle, symbolsize = 18;
frm3d := axes = boxed, labelfont = [horizontal, horizontal, vertical], labelfont = [TIMES, BOLD, 18], titlefont = [TIMES, BOLD, 20], font = [TIMES, BOLD, 20], symbol = solidcircle, symbolsize = 18;
frm3d := axes = boxed, labelfont = [horizontal, vertical], labelfont = [TIMES, BOLD, 16], titlefont = [TIMES, BOLD, 20], font = [TIMES, BOLD, 20], symbol = solidcircle, symbolsize = 20, legendstyle = [font = ["TIMES", BOLD, 18], location = bottom], size = [900, 600]
frm3d := axes = boxed, labelfont = [horizontal, horizontal, vertical], labelfont = [TIMES, BOLD, 18], titlefont = [TIMES, BOLD, 20], font = [TIMES, BOLD, 20], symbol = solidcircle, symbolsize = 18; (1)

```

**Уравнение Шредингера для центрального поля**

1. В трехмерном случае оператор Гамильтона (оператор полной энергии)  $\hat{H}$  частицы массы  $\mu$  имеет в общем случае вид:

$$\hat{H} = \frac{1}{2\mu} \hat{\mathbf{p}}^2 + U(x, y, z) = -\frac{\hbar^2}{2\mu} \left( \frac{\partial^2}{\partial x^2} + \frac{\partial^2}{\partial y^2} + \frac{\partial^2}{\partial z^2} \right) + U(x, y, z)$$

Здесь  $U(x, y, z)$  - потенциальная энергия системы.

2. Поле называется центральным, если потенциальная энергия зависит только от радиальной координаты:

$$U(x, y, z) = V(r),$$

где  $r = \sqrt{x^2 + y^2 + z^2}$ .

3. Для расчетов в центральном поле полезно перейти к сферической системе координат :

$$(x, y, z) \rightarrow (r, \phi, \theta)$$

$$x = r \cos(\phi) \sin(\theta); y = r \sin(\phi) \sin(\theta); z = r \cos(\theta).$$

U

(2)

```

> Le:=5;
Le := 5

```

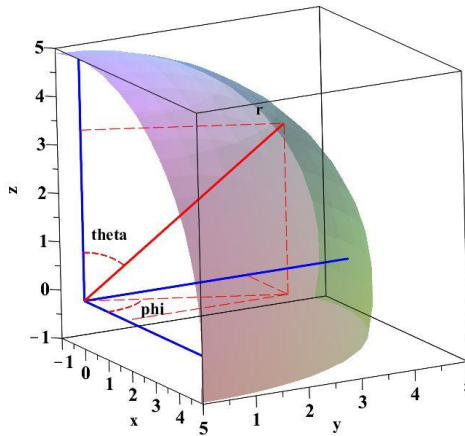
(3)

```

> lx:=line([0,0,0],[Le,0,0],color=blue,thickness=3):
ly:=line([0,0,0],[0,Le,0],color=blue,thickness=3):
lz:=line([0,0,0],[0,0,Le],color=blue,thickness=3):
lr:=line([0,0,0],[Le*cos(Pi/3)*sin(Pi/4),Le*sin(Pi/3)*sin(Pi/4),Le*cos(Pi/4)],color=red,thickness=3,linestyle=solid):
lrxy:=line([Le*cos(Pi/3)*sin(Pi/4),Le*sin(Pi/3)*sin(Pi/4),Le*cos(Pi/4)],[Le*cos(Pi/3)*sin(Pi/4),Le*sin(Pi/3)*sin(Pi/4),0],color=red,thickness=0,linestyle=longdash):
lrxy1:=line([0,0,0],[Le*cos(Pi/3)*sin(Pi/4),Le*sin(Pi/3)*sin(Pi/4),0],color=red,thickness=0,linestyle=longdash):
lrxy2:=line([0,0,Le*cos(Pi/4)],[Le*cos(Pi/3)*sin(Pi/4),Le*sin(Pi/3)*sin(Pi/4),Le*cos(Pi/4)],color=red,thickness=0,linestyle=longdash):
lrxy3:=line([Le*cos(Pi/3)*sin(Pi/4),Le*sin(Pi/3)*sin(Pi/4),0],[0,Le*sin(Pi/3)*sin(Pi/4),0],color=red,thickness=0,linestyle=longdash):
lrxy4:=line([Le*cos(Pi/3)*sin(Pi/4),Le*sin(Pi/3)*sin(Pi/4),0],[Le*cos(Pi/3)*sin(Pi/4),0,0],color=red,thickness=0,linestyle=longdash):
> Sp:=implicitplot3d(x^2+y^2+z^2-Le^2,x=-1..Le,y=0..Le,z=-1..Le,transparency=0.5,style=surface,frm3d,labels=["x","y","z"],orientation=[-33,75,-5], title="Сферическая система координат"):
sp1:=spacecurve([cos(phi),sin(phi),0],phi=0..Pi/3,color=red,thickness=2,linestyle=dash):
sp2:=spacecurve([cos(Pi/3)*sin(t),sin(Pi/3)*sin(t),cos(t)],t=0..Pi/4,color=red,thickness=2,linestyle=dash):
txtL:=textplot3d([[1.2,0.75,0,"phi"],[0,0.5,1.3,"theta"],[2,2.5,4,"r"]],font=[SYSTEM,BOLD,18]):

```

```
> display(lx, ly, lz, Sp, lr, lrxy, lrxy1, lrxy2, lrxy3, lrxy4, sp1, sp2, txtL);
Сферическая система координат
```



В сферической системе координат оператор Гамильтона (полной энергии) можно записать так:

$$\begin{aligned}\hat{H} &= \frac{1}{2\mu} \hat{\mathbf{p}}^2 + V(r) = -\frac{\hbar^2}{2\mu} \left( \frac{1}{r^2} \frac{\partial}{\partial r} \left( r^2 \frac{\partial}{\partial r} \right) + \frac{1}{r^2 \sin(\theta)} \frac{\partial}{\partial \theta} \left( \sin(\theta) \frac{\partial}{\partial \theta} \right) + \frac{1}{r^2 \sin^2(\theta)} \frac{\partial^2}{\partial \phi^2} \right) + V(r) = \\ &= -\frac{\hbar^2}{2\mu} \frac{1}{r^2} \frac{\partial}{\partial r} \left( r^2 \frac{\partial}{\partial r} \right) + V(r) + \frac{1}{r^2} \left( \frac{1}{\sin(\theta)} \frac{\partial}{\partial \theta} \left( \sin(\theta) \frac{\partial}{\partial \theta} \right) + \frac{1}{\sin(\theta)} \frac{\partial^2}{\partial \phi^2} \right) = \\ &= -\frac{\hbar^2}{2\mu} \frac{1}{r^2} \frac{\partial}{\partial r} \left( r^2 \frac{\partial}{\partial r} \right) + V(r) - \frac{\hbar^2}{2\mu r^2} \hat{l}^2\end{aligned}$$

Здесь :

$$\hat{l}^2 = - \left( \frac{1}{\sin(\theta)} \frac{\partial}{\partial \theta} \left( \sin(\theta) \frac{\partial}{\partial \theta} \right) + \frac{1}{(\sin(\theta))^2} \frac{\partial^2}{\partial \phi^2} \right) = -\Delta_{\phi\theta}$$

- квадрат орбитального момента.

Стационарное уравнение Шредингера в сферической системе координат для частицы в центральном поле имеет такой вид :

$$-\frac{\hbar^2}{2\mu} \frac{1}{r^2} \frac{\partial}{\partial r} \left( r^2 \frac{\partial}{\partial r} \right) \psi(r, \phi, \theta; E) + V(r) \psi(r, \phi, \theta; E) + \frac{\hbar^2}{2\mu r^2} \hat{l}^2 \psi(r, \phi, \theta; E) = E \psi(r, \phi, \theta; E).$$

Это уравнение допускает разделение переменных на радиальную и угловые переменные.

Ищем решение в таком виде :

$$\psi(r, \phi, \theta; E) = R(r) \Psi(\phi, \theta).$$

Уравнение для угловых переменных имеет такой вид :

$$\hat{l}^2 \Psi(\phi, \theta) = l(l+1) \Psi(\phi, \theta)$$

Соответственно, уравнение для радиальной части волновой функции таково :

$$-\frac{\hbar^2}{2\mu} \frac{1}{r^2} \frac{\partial}{\partial r} \left( r^2 \frac{\partial R(r)}{\partial r} \right) + V(r) R(r) + \frac{\hbar^2 l(l+1)}{2\mu r^2} R(r) = E R(r).$$

Отсюда функции  $\Psi(\phi, \theta)$  являются собственными функциями квадрата орбитального момента  $\hat{l}^2$ .

Следовательно :

$$\Psi(\phi, \theta) = \Psi_{lm}(\phi, \theta) = \frac{1}{\sqrt{2\pi}} e^{im\phi} \sqrt{\frac{2l+1}{2} \frac{(l-m)!}{(l+m)!}} P_l^{|m|}(\theta).$$

Волновые функции радиального движения  $R(r)$  определяются в общем случае двумя квантовыми числами

- орбитальным квантовым числом  $l$  и номером энергетического уровня - главным квантовым числом  $n$ .  
 $R(r) = R_{nl}(r)$ .

### Заготовки функций

```
> U1 := (x, y) -> x^2 + y^2;
U1r := (r, phi) -> r^2;
U2 := (x, y) -> -1/sqrt(x^2 + y^2);
U3 := (x, phi, a, U0, U1) -> piecewise(0 < x and x < a, U0, a <= x, U1);
```

$$\begin{aligned}UI &:= (x, y) \rightarrow y^2 + x^2 \\ UIr &:= (r, \phi) \rightarrow r^2 \\ U2 &:= (x, y) \rightarrow -\frac{1}{\sqrt{y^2 + x^2}} \\ U3 &:= (x, \phi, a, U0, UI) \rightarrow \text{piecewise}(0 < x \text{ and } x < a, U0, a \leq x, UI)\end{aligned}$$

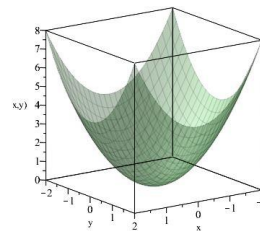
(4)

```

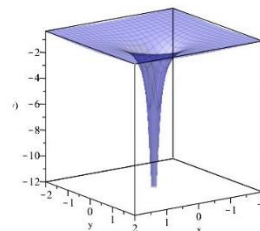
> picUHO2:=plot3d(U1(x,y),x=-2..2,y=-2..2,color="DarkGreen",title="Потенциальная энергия гармонического осциллятора x^2",labels=[["x","y","U(x,y)"],transparency=0.7);
plot3d(U2(x,y),x=-2..2,y=-2..2,color=blue,transparency=0.7,title="Потенциал точечного заряда",labels=[["x","y","U(x,y)"]);
# ,view=[-5..5,0..2.5]
plot3d(U3(x,phi,0,4,4,0.1),x=-10..10,phi=0..2*Pi,coords=cylindrical,color=red,filled=true,thickness=5,
transparency=0.7,title="Прямоугольная яма конечной глубины",labels=[["x","y","U(x,y)"],style=surface,grid=[100,100]),# ,view=[-10..10,0..5]

```

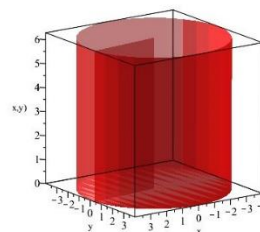
Потенциальная энергия гармонического осциллятора  $x^2$



Потенциал точечного заряда



Прямоугольная яма конечной глубины



#### 4. Границные условия для волновых функций в яме имеют такой вид :

**4.1.** Для частицы, энергия которой лежит ниже верхнего значения потенциальной энергии, волновая функция  $\psi(x, y, z; E)$

в пределе  $r = \sqrt{x^2 + y^2 + z^2} \rightarrow \pm \infty$  стремится к нулю :

$$\lim_{r \rightarrow \pm \infty} \psi(x, y, z; E) = 0.$$

Смысл этого граничного условия состоит, как и в одномерном случае, в том, что при удалении от ямы вероятность найти частицу стремится к нулю.

Задаем значение полной энергии

>  $E := -8;$

$E := -8$  (5)

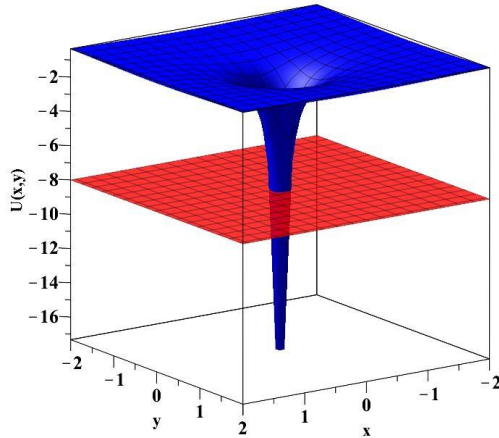
Рисуем график потенциала и уровень энергии

```

> plot3d([B,U2(x,y)],x=-2..2,y=-2..2,color=[red,blue],transparency=[0.2,0.0],title="Потенциал точечного заряда",
labels=[["x","y","U(x,y)"],frm3d,grid=[50,50]);

```

### Потенциал точечного заряда



#### 4.2 . Бесконечный по высоте барьер

Если потенциальная энергия как функция координаты в точке  $x=0$  имеет бесконечный по энергии разрыв то волновая функция  $\psi(x, y, z; E)$  в пределе  $(x, y, z) \rightarrow (x=0, y, z)$  стремится к нулю :

$$\lim_{x \rightarrow x=0} \psi(x, y, z; E) = 0.$$

Особой точкой в сферической системе координат является точка  $r=\sqrt{x^2 + y^2 + z^2}=0$ . Поскольку значения  $r$  не могут быть отрицательными, то в этой точке должно выполняться особое условие ограниченности волновой функции:

$$\psi(r, \phi, \theta; E) \rightarrow C, |C| < \infty$$

#### 4.3. Конечный скачок энергии. Условия сшивки

Если потенциальная энергия как функция координаты в точке  $x=0$  имеет конечный по энергии разрыв то :

a) волновая функция  $\psi(x, y, z; E)$  в пределах к этой точке непрерывна :

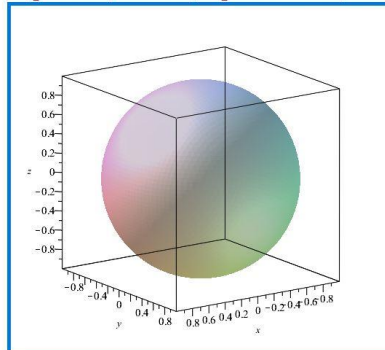
b) производная волновой функции  $\psi(x; E)$  в пределах к этой точке непрерывна :

#### Решение задач

#### Задача 4.2 ГКК

Частица в бесконечно глубокой сферической яме

```
> implicitplot3d(x^2+y^2+z^2-1,x=-1..1,y=-1..1,z=-1..1,style=surface,transparency=0.5,grid=[50,50,50]);
```



Поскольку сферически бесконечно глубокая яма имеет сферически симметричный потенциал, то его собственные функции являются также и собственными функциями квадрата орбитального момента и проекции орбитального момента на ось z, как уже отмечалось, имеют вид :

$$\Psi(\phi, \theta) = \Psi_{lm}(\phi, \theta) = \frac{1}{\sqrt{2\pi}} e^{im\phi} \sqrt{\frac{2l+1}{2} \frac{(l-m)!}{(l+m)!}} P_l^{|m|}(\theta).$$

Уравнение для радиальной части волновой функции для сферически симметричной бесконечно глубокой ямы можно записать так:

$$-\frac{\hbar^2}{2\mu} \frac{1}{r^2} \frac{\partial}{\partial r} \left( r^2 \frac{\partial R(r)}{\partial r} \right) - \frac{\hbar^2 l(l+1)}{2\mu r^2} R(r) = ER(r)$$

Границные условия для радиальной функции R(r) имеют такой вид:  
 $\lim_{r \rightarrow \infty} R(r) = 0, \quad R(0) = C, \quad |C| < \infty$

Для решения задач в 3x-мерном центральном поле удобно переписать уравнение в следующем виде :

$$-\frac{\hbar^2}{2\mu} \frac{1}{r} \left( \frac{\partial^2}{\partial r^2} (rR(r)) - \frac{l(l+1)}{r^2} (rR(r)) \right) = ER(r)$$

Теперь, если ввести новую функцию :

$$u(r) = rR(r)$$

Уравнение Шредингера приобретает вид одномерного уравнения :

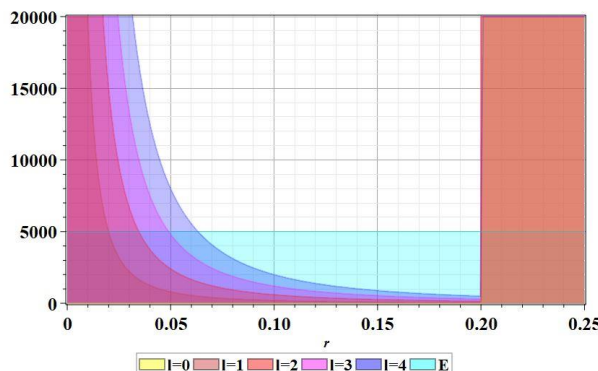
$$-\frac{\hbar^2}{2\mu} \left( \frac{\partial^2}{\partial r^2} - \frac{l(l+1)}{r^2} \right) u(r) = Eu(r)$$

с эффективным потенциалом :

$$V_{eff}(r) = \frac{\hbar^2}{2\mu} \frac{l(l+1)}{r^2}.$$

Подобная же ситуация имеет место и в классической механике.

```
> a:=0.2;U0:=20000;
> Veff:=(r,l,a,U0)->piecewise(0<=r and r< a,1*(l+1)/r^2,U0);
> Veff:=(r,l,a,U0)->piecewise(0 ≤ r and r < a,  $\frac{l(l+1)}{r^2}$ , U0)
> plot([Veff(r,0,a,U0),Veff(r,1,a,U0),Veff(r,2,a,U0),Veff(r,3,a,U0),Veff(r,4,a,U0),5000],r=0..0.25,color=[yellow,orange,red,magenta,blue,cyan],thickness=2,frm,filled=true,transparency=0.75,view=[0..0.25,0..20000],legend=["l=0","l=1","l=2","l=3","l=4","E"]);
```



**Решение задачи для  $l=0$ .**

В случае  $l=0$  уравнение Шредингера для функции  $u=rR(r)$  принимает вид одномерного уравнения Шредингера для бесконечно глубокой ямы:

$$-\frac{\hbar^2}{2\mu} \frac{\partial^2}{\partial r^2} u(r) = Eu(r),$$

с граничными условиями :

$$u(0) = 0, \quad u(a) = 0.$$

Решение наами было получено ранее для одномерной бесконечно глубокой ямы :

$$u_{n0}(r) = A \sin\left(\frac{\pi n}{a} r\right)$$

Однако условие нормировки теперь должно выглядеть так :

$$4\pi \int_0^a \left( R_{n0}(r) \right)^2 r^2 dr = 1,$$

зде :

$$R_{n0}(r) = A \frac{\sin\left(\frac{\pi n}{a} r\right)}{r}, \quad n = 1, 2, \dots$$

Отсюда :

$$4 \pi A^2 \int_0^a \left( \frac{\sin\left(\frac{\pi n}{a} r\right)}{r} \right)^2 r^2 dr = 4 \pi A^2 \int_0^a \left( \sin\left(\frac{\pi n}{a} r\right) \right)^2 dr = 2 \pi A^2 \int_0^a \left( 1 - \cos\left(2 \frac{\pi n}{a} r\right) \right) dr = 1$$

Окончательно :

$$2 \pi A^2 a = 1$$

$$A = \frac{1}{\sqrt{2 \pi a}}$$

В результате :

$$u_{n0}(r) = \frac{1}{\sqrt{2 \pi a}} \sin\left(\frac{\pi n}{a} r\right)$$

$$R_{n0}(r) = \frac{1}{\sqrt{2 \pi a}} \frac{\sin\left(\frac{\pi n}{a} r\right)}{r}$$

Соответствующие энергетические уравнения равны :

$$E_{n0} = \frac{\hbar^2}{2 \mu} \left( \frac{\pi n}{a} \right)^2.$$

**Решение задачи для  $l > 0$ .**

Для построения решений в случае  $l > 0$  воспользуемся специальным представлением оператора Шредингера в виде повышающих и пониживающих операторов по орбитальному числу.

Введем неэрмитовы операторы следующего вида:

$$b_l^+ = \frac{\partial}{\partial r} - \frac{l}{r}, \quad b_l^- = \frac{\partial}{\partial r} + \frac{l}{r}.$$

Вычислим последовательное действие этих операторов :

$$b_l^+ b_l^- u = \left( \frac{\partial}{\partial r} - \frac{l}{r} \right) \left( \frac{\partial}{\partial r} + \frac{l}{r} \right) u = \left( \frac{\partial^2}{\partial r^2} - \frac{l^2 + l}{r^2} \right) u = \left( \frac{\partial^2}{\partial r^2} - \frac{l(l+1)}{r^2} \right) u = -\hat{H}_l u$$

$$b_l^- b_l^+ u = \left( \frac{\partial}{\partial r} + \frac{l}{r} \right) \left( \frac{\partial}{\partial r} - \frac{l}{r} \right) u = \left( \frac{\partial^2}{\partial r^2} - \frac{l^2 - l}{r^2} \right) u = \left( \frac{\partial^2}{\partial r^2} - \frac{l(l-1)}{r^2} \right) u = -\hat{H}_{l-1} u$$

Здесь введены обозначения :

$$\hat{H}_l = - \left( \frac{\partial^2}{\partial r^2} - \frac{l(l+1)}{r^2} \right)$$

$$\hat{H}_{l-1} = - \left( \frac{\partial^2}{\partial r^2} - \frac{l(l-1)}{r^2} \right)$$

Теперь уравнения Шредингера для заданного  $l$  можно записать так :

$$\hat{H}_l u_l = -b_l^+ b_l^- u_l = \epsilon_l u_l$$

$$\text{где } \epsilon_l = \frac{2 m E}{\hbar^2} - \text{ безразмерная энергия.}$$

Подействуем оператором  $b_l^-$  на это уравнение. В результате получим :

$$-b_l^- b_l^+ b_l^- u_l = \epsilon_l b_l^- u_l$$

Если ввести обозначение  $w_l = b_l^- u_l$ , то уравнение примет такой вид :

$$-b_l^- b_l^+ w_l = \epsilon_l w_l = \hat{H}_{l-1} w_l = \epsilon_{l-1} w_l$$

Т.е. если  $u_l$  – решение уравнения для  $l$ , то функция  $w_l = b_l^- u_l$  – есть решение для  $l-1$ . Это означает, что оператор

$b_l^-$  преобразует волновую функцию с номером  $l$  в волновую функцию с номером  $l-1$ .

При этом  $\epsilon_l = \epsilon_{l-1}$ .

Поэтому

$$b_l^- u_l = \Gamma_l^- u_{l-1}$$

Если теперь исходить исходить из уравнения :

$$\hat{H}_{l-1} u_{l-1} = \epsilon_{l-1} u_{l-1} = -b_l^- b_l^+ u_{l-1},$$

то действуя на него оператором  $b_l^+$  можно по аналогии показать, что функция  $v_l = b_l^+ u_{l-1}$ ,

удовлетворяет уравнению Шредингера для значения орбитального числа  $l$ . Т.е.:

$$b_l^+ u_{l-1} = \Gamma_l^+ u_l$$

Числа  $\Gamma_l^-$  и  $\Gamma_l^+$  вычисляются,

как и в случае других промышающих и пониживающих операторов с помощью вычисления скалярных произведений :

$$\begin{aligned} \left( b_l^- u_r b_l^- u_l \right) &= \left( \Gamma_l^- \right)^2 \\ \left( b_l^+ u_{l-1} b_l^+ u_{l-1} \right) &= \left( \Gamma_{l-1}^+ \right)^2 \end{aligned}$$

Учитывая, что  $\left( b_l^- \right)^+ = -b_l^+$  (операторы антисопряжены друг другу), находим:

$$\begin{aligned} \left( b_l^- u_r b_l^- u_l \right) &= -\left( u_r b_l^+ b_l^- u_l \right) = \left( \Gamma_l^- \right)^2 = \epsilon_l \\ \left( b_l^+ u_{l-1} b_l^+ u_{l-1} \right) &= -\left( u_{l-1} b_l^- b_l^+ u_{l-1} \right) = \left( \Gamma_l^+ \right)^2 = \epsilon_{l-1} \end{aligned}$$

Отсюда следует, что если известны решения уравнения  $u_{l-1}$  для  $l-1$ , то действуя на них оператором  $b_l^+$ , можно найти решения уравнения  $u_l$  для  $l$ .

Отсюда следует, что решение для  $l=1$  можно получить, действуя на решения при  $l=0$  оператором  $b_1^+$ :

$$u_1 = \frac{1}{\Gamma_1^+} b_1^+ u_0 = \frac{1}{\Gamma_1^+} \left( \frac{\partial}{\partial r} - \frac{l}{r} \right) \sin \left( \sqrt{\frac{2}{a}} \sin \left( \frac{\pi n}{a} r \right) \right)$$

Однако, если просто воспользоваться этим соотношением, подставив в него решения  $u_{n0}$ , то мы получим не верный результат. Проблема состоит в том, что наша бесконечно глубокая яма имеет разрыв в точке  $r = a$  и при действии операторов  $b_l^+$  в уравнение Шредингера будут появляться дополнительные слагаемые.

Поэтому необходимо решать задачу при  $l > 0$  немного скорректировать.

Формула для волновых функций внутри ямы были получены верно.

Необходимо только изменить решения задач в точке  $r = a$ . Для этого мы рассмотрим общее решение для  $l = 0$  до использования граничных условий, применим к нему повышающий оператор и получим общее решение для  $l = 1$ . Затем к этим функциям применим граничные условия.

Общее решение для  $u_0(r)$  имеет такой вид:

$$u_0(r) = A \sin(kr) + B \cos(kr),$$

где  $k^2 = \epsilon_0$ . Подействуем на это решение оператором  $b_1^+$ , получаем:

$$u_1(r) = \left( \frac{\partial}{\partial r} - \frac{1}{r} \right) (A \sin(kr) + B \cos(kr)) = \left( Ak - \frac{B}{r} \right) \cos(kr) - \left( Bk + \frac{A}{r} \right) \sin(kr).$$

Применяем граничные условия в нуле:

$$\lim_{r \rightarrow 0} u_1(r) = Ak - B \lim_{r \rightarrow 0} \frac{\cos(kr)}{r} - A \lim_{r \rightarrow 0} \frac{\sin(kr)}{r} = 0$$

Для того, чтобы это условие выполнялось, необходимо, чтобы  $B$

$= 0$ . Остальная часть обращается в ноль при любом  $A$  в силу превого замечательного предела:

$$\lim_{r \rightarrow 0} \frac{\sin(kr)}{r} = k.$$

Теперь применяем граничные условия в точке  $r = a$ . Имеем (с учетом  $B = 0$ ):

$$u_1(a) = Ak \cos(ka) - \frac{A \sin(ka)}{a} = 0.$$

Следовательно волновое число  $k$  должно удовлетворять уравнению:

$$ka = \operatorname{tg}(ka).$$

Графическое решение этого уравнения представлено ниже.

Его можно получить по аналогии с одномерной ямой конечной глубины (Задание 3)

Определяем функции для графического решения задачи

```
> Eq:=(xi)->evalf(xi-tan(xi)); # Введено обозначение xi=ka
> Eq:=xi->evalf(xi - tan(xi))
```

(7)

>

Начальная точка из списка решений уравнения для четных состояний

В качестве начальной точки взята точка начала координат (для создания начала списка)

```
> AllPX:=point([0,0],color=red,symbol=solidcircle,symbolsize=14):
```

Задаем число диапазонов значений параметров ямы, для которых ищутся решения:

```
> M:=5; # Число можно самостоятельно менять, но не следует задавать слишком большие числа
```

$M := 5$

(8)

Вычисление всех решений для  $l=1$

Решения уравнений ищутся в диапазонах  $[\pi \cdot (k-1).. \pi \cdot k]$ ,  $k=1..M$

```

> for k from 1 to M do # Цикл по диапазонам
    # Вычисление решений уравнения для волновых чисел
    X[k]:=evalf(fsolve(Eq(x),x=Pi*(k-1)..Pi*k));
    # Проверка существования решения в численном виде в данном диапазоне
    if type(X[k],'numeric') then
        print("k=",k,X[k]);# Печатаем вычисленные значения k1*
        # Создание точки пересечения графиков, если она существует
        PX[k]:=point([X[k],tan(X[k])],color=red,
                     symbol=solidcircle,symbolsize=14);
        # Создание списка изображений точек пересечения
        AllPX:=AllPX,PX[k];
    end if;
    #AllPX:=AllPX,PX0[j];
end do:

```

(9)

В массиве  $X[n]$  лежат значения произведения  $k_n a$ , соответствующие энергетическим уровням для  $l=1$ .

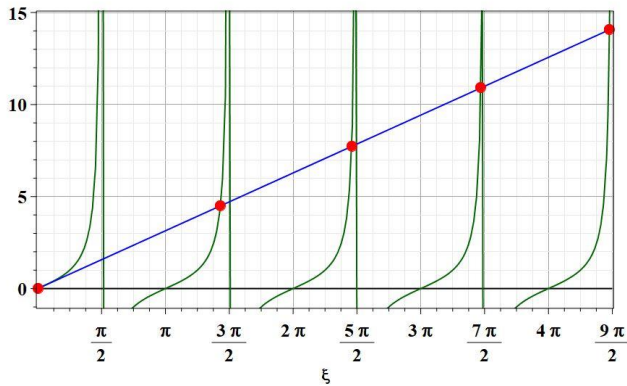
**Вывод графиков и точек на экран**

```

> PGsolP:=plot([0,tan(xi),xi],xi=0..4*Pi+Pi/2,frm,color=[black,"DarkGreen",blue],thickness=2,title="Графическое
    решение задачи для l=1 \n",view=[0..4*Pi+Pi/2,-1..15]);
>
> display(PGsolP,AllPX);

```

Графическое решение задачи для  $l=1$



Пусть  $k_n$  - решения для волновых чисел ( $n=1,2,\dots$ ). Тогда:

$$u_{nl}(r) = A \left( k_n \cos(k_n r) - \frac{\sin(k_n r)}{r} \right)$$

и

$$R_{nl}(r) = A \frac{1}{r} \left( k_n \cos(k_n r) - \frac{\sin(k_n r)}{r} \right)$$

Условие нормировки функций  $R_{nl}(r)$  находятся из вычисления интегралов:

$$4\pi \int_0^a (R_{nl}(r))^2 r^2 dr = 4\pi A^2 \int_0^a \left( k_n \cos(k_n r) - \frac{\sin(k_n r)}{r} \right)^2 dr = 1$$

$$\frac{\delta_n}{false} \quad (10)$$

$$> R:=(r,k)->k*cos(k*r)-sin(k*r)/r; \quad R := (r, k) \rightarrow k \cos(k r) - \frac{\sin(k r)}{r} \quad (11)$$

$$> 4*Pi*A^2*int(R(r,p)^2,r=0..a0); \quad \frac{2 \pi A^2 (\cos(p a0) \sin(p a0) a0 p + a0^2 p^2 + \cos(2 p a0) - 1)}{a0} \quad (12)$$

Отсюда, полагая  $p=k_n a$ ,  $a0=a$ , находим:

$$A = \sqrt{\frac{1}{2\pi}} \sqrt{\frac{a}{(k_n a)^2 - (\sin(k_n a))^2}}$$

Строим графики волновых функций.

```
> R0:=(r,n,a)->sqrt(1/2/Pi/a)*sin(Pi*n*r/a)/r;
```

$$R0 := (r, n, a) \rightarrow \frac{\sqrt{\frac{1}{2\pi a}} \sin\left(\frac{\pi n r}{a}\right)}{r} \quad (13)$$

>

```
> R1:=(r,n,a,X)->sqrt(1/2/Pi/a)*sqrt(1/(X[n+1]^2-sin(X[n+1])^2))*X[n+1]*(cos(X[n+1]*r/a)-sin(X[n+1]*r/a)/(X[n+1]*r/a))/r;
```

$$R1 := (r, n, a, X) \rightarrow \frac{\sqrt{\frac{1}{2\pi a}} \sqrt{\frac{1}{X_{n+1}^2 - \sin(X_{n+1})^2}} X_{n+1} \left( \cos\left(\frac{X_{n+1} r}{a}\right) - \frac{\sin\left(\frac{X_{n+1} r}{a}\right) a}{X_{n+1} r} \right)}{r} \quad (14)$$

```
> a:=0.2;
```

$$a := 0.2 \quad (15)$$

Проверяем нормировку волновых функций:

```
> 4*Pi*int(R0(r,1,a0)^2*r^2,r=0..a0);
```

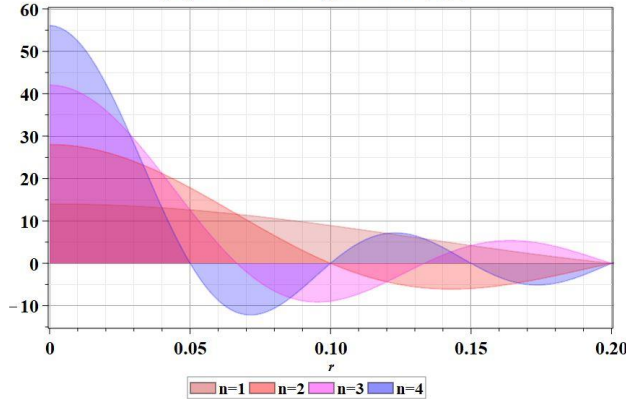
```
4*Pi*int(R1(r,1,a0,X)^2*r^2,r=0..a0);
```

$$\frac{1}{0.9999999992} \quad (16)$$

Выводим графики волновых функций на экран.

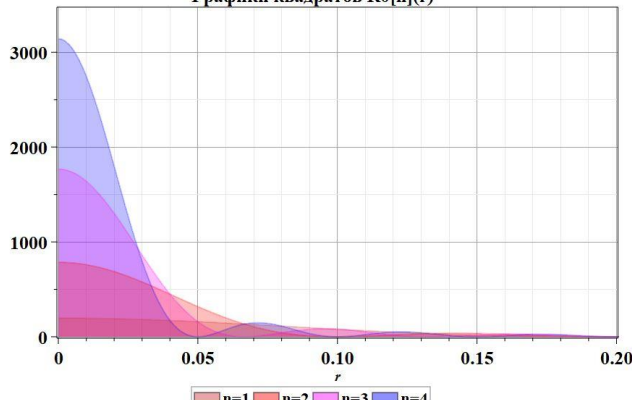
```
> plot([R0(r,1,a),R0(r,2,a),R0(r,3,a),R0(r,4,a)],r=0..0.25,color=[orange,red,magenta,blue],thickness=2,frm,filled=true,transparency=0.75,legend=["n=1","n=2","n=3","n=4"],title="Графики волновых функций R0[n](r)",view=[0..a,-15..60]);
```

Графики волновых функций R0[n](r)

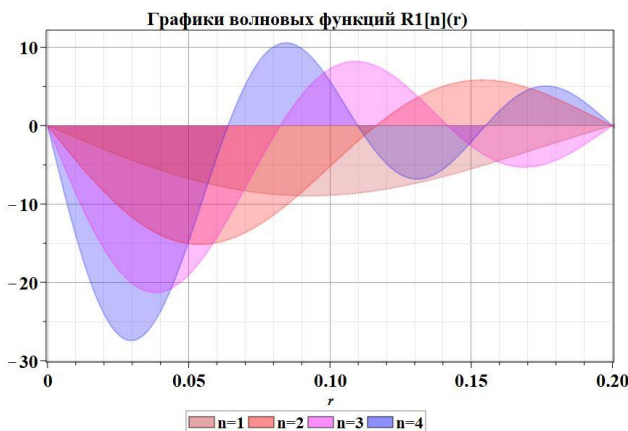


```
=> plot([R0(r,1,a)^2,R0(r,2,a)^2,R0(r,3,a)^2,R0(r,4,a)^2],r=0..0.25,color=[orange,red,magenta,blue],thickness=2,frm,filled=true,transparency=0.75,legend=["n=1","n=2","n=3","n=4"],title="Графики квадратов R0[n](r)",view=[0..a,0..3460]);
```

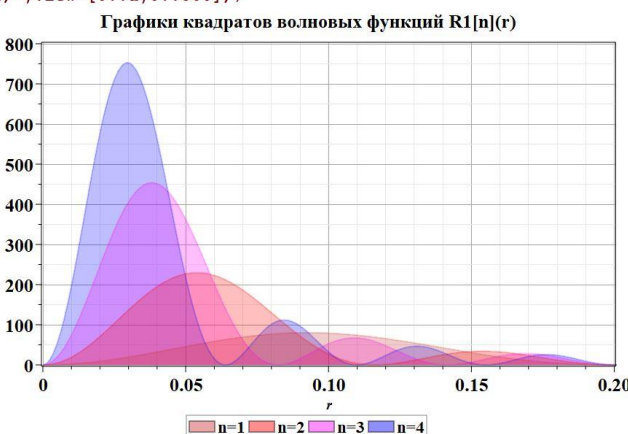
Графики квадратов R0[n](r)



```
> plot([R1(r,1,a,X),R1(r,2,a,X),R1(r,3,a,X),R1(r,4,a,X)],r=0.0..0.25,color=[orange,red,magenta,blue],thickness=2,filled=true,transparency=0.75,legend=["n=1","n=2","n=3","n=4"],title="Графики волновых функций R1[n](r)",view=[0..a,-30..12]);
```



```
> plot([R1(r,1,a,X)^2,R1(r,2,a,X)^2,R1(r,3,a,X)^2,R1(r,4,a,X)^2],r=0.0..0.25,color=[orange,red,magenta,blue],thickness=2,filled=true,transparency=0.75,legend=["n=1","n=2","n=3","n=4"],title="Графики квадратов волновых функций R1[n](r)",view=[0..a,0..800]);
```



### Задача 4.2 ГКК

Найти решение состояния сферически симметричного гармонического осциллятора с фиксированным орбитальным числом  $l$  и магнитным числом  $m$  (проекцией орбитального момента на ось  $z$ ).

Поскольку сферически симметричный гармонический осциллятор имеет сферически симметричный потенциал, то его собственные функции являются также и собственными функциями квадрата орбитального момента и проекции орбитального момента на ось  $z$ , как уже отмечалось, имеют вид :

$$\Psi_{lm}(\phi, \theta) = \Psi_{lm}(\phi, \theta) = \frac{1}{\sqrt{2\pi}} e^{im\phi} \sqrt{\frac{2l+1}{2}} \frac{(l-m)!}{(l+m)!} P_l^{|m|}(\theta).$$

Уравнение для радиальной части волновой функции для сферически симметричного гармонического осциллятора можно записать так:

$$-\frac{\hbar^2}{2\mu} \frac{1}{r^2} \frac{\partial}{\partial r} \left( r^2 \frac{\partial R(r)}{\partial r} \right) + \frac{\mu\omega^2}{2} r^2 R(r) - \frac{\hbar^2 l(l+1)}{2\mu r^2} R(r) = ER(r)$$

Error, invalid input: R uses a 2nd argument, k, which is missing

Границные условия для радиальной функции  $R(r)$  имеют такой вид:

$$\lim_{r \rightarrow \infty} R(r) = 0, \quad R(0) = C, \quad |C| < \infty$$

Для решения задач в 3 x – мерном центральном поле удобно переписать уравнение в следующем виде :

$$-\frac{\hbar^2}{2\mu} \frac{1}{r} \left( \frac{\partial^2}{\partial r^2} (rR(r)) + \frac{l(l+1)}{r^2} (rR(r)) \right) + \frac{\mu\omega^2}{2} r^2 R(r) = ER(r)$$

Теперь, если ввести новую функцию :

$$u(r) = rR(r)$$

Уравнение Шредингера приобретает вид одномерного уравнения :

$$\frac{\hbar^2}{2\mu} \frac{\partial^2}{\partial r^2} u(r) + \frac{\hbar^2}{2\mu} \left( \frac{l(l+1)}{r^2} + \frac{\mu\omega^2}{\hbar^2} r^2 \right) u(r) = Eu(r)$$

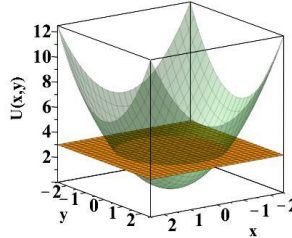
с эффективным потенциалом :

$$V_{eff}(r) = \frac{\hbar^2}{2\mu} \left( \frac{l(l+1)}{r^2} + \frac{\mu\omega^2}{\hbar^2} r^2 \right).$$

Подобная же ситуация имеет место в классической механике.

```
> picUH02:=plot3d([U1(x,y),3],x=-2.5..2.5,y=-2.5..2.5,color=[ "DarkGreen",coral],title="Потенциальная энергия гармонического осциллятора",labels=[ "x", "y", "U(x,y)" ],frm3d,transparency=[0.7,0]);
```

Потенциальная энергия гармонического осциллятора



Приведем радиальную часть уравнения Шредингера к безразмерному виду, полагая:

$$\xi = \sqrt{\frac{\hbar}{\mu\omega}} r \text{ и } \epsilon = \frac{2E}{\hbar\omega}. \text{ В результате приходим к такому уравнению:}$$

$$-\frac{\partial^2}{\partial \xi^2} u(\xi) + \left( \frac{l(l+1)}{\xi^2} + \xi^2 \right) u(\xi) = \epsilon u(\xi)$$

Представим левую часть этого уравнения в виде произведения пары сопряженных друг другу неэрмитовых операторов следующего вида :

$$\hat{e}_l^+ = \frac{l}{\xi} + \xi - \frac{\partial}{\partial \xi}, \quad \hat{e}_l^- = \frac{l}{\xi} + \xi + \frac{\partial}{\partial \xi}$$

Действительно, вычисляем :

$$\hat{e}_l^+ \hat{e}_l^- = \left( \frac{l}{\xi} + \xi - \frac{\partial}{\partial \xi} \right) \left( \frac{l}{\xi} + \xi + \frac{\partial}{\partial \xi} \right) = -\frac{\partial^2}{\partial \xi^2} + \xi^2 + \frac{l(l+1)}{\xi^2} + 2l - 1,$$

$$\hat{e}_l^- \hat{e}_l^+ = \left( \frac{l}{\xi} + \xi + \frac{\partial}{\partial \xi} \right) \left( \frac{l}{\xi} + \xi - \frac{\partial}{\partial \xi} \right) = -\frac{\partial^2}{\partial \xi^2} + \xi^2 + \frac{l(l-1)}{\xi^2} + 2l + 1,$$

Если обозначить :

$$\hat{H}_l = -\frac{\partial^2}{\partial \xi^2} + \xi^2 + \frac{l(l+1)}{\xi^2},$$

то последние соотношения можно записать в таком виде :

$$\hat{H}_l = \hat{e}_l^+ \hat{e}_l^- - 2l + 1,$$

$$\hat{H}_{l-1} = \hat{e}_l^- \hat{e}_l^+ - 2(l-1) - 3$$

Это означает, что уравнение Шредингера можно записать двумя способами :

$$\hat{H}_l u_l(r) = \hat{e}_l^+ \hat{e}_l^- u_l(r) - (2l-1) u_l(r) = \epsilon_l u_l(r)$$

$$\hat{H}_{l-1} u_{l-1}(r) = \hat{e}_l^- \hat{e}_l^+ u_{l-1}(r) - (2(l-1) + 3) u_{l-1}(r) = \epsilon_{l-1} u_{l-1}(r)$$

Перепишем эти уравнения таким образом :

$$\hat{e}_l^+ \hat{e}_l^- u_l(r) = ((2l-1) + \epsilon_l) u_l(r)$$

$$\hat{e}_l^- \hat{e}_l^+ u_{l-1}(r) = ((2(l-1) + 3) + \epsilon_{l-1}) u_{l-1}(r)$$

Как и в случае других повышающих и пониждающих операторов подействуем на эти уравнения слева операторами  $\hat{e}_l^+$  и  $\hat{e}_l^-$ ,

соответственно. В результате находим :

$$\hat{e}_l^- \hat{e}_l^+ (\hat{e}_l^- u_l(r)) = ((2l-1) + \epsilon_l) (\hat{e}_l^- u_l(r))$$

$$\hat{e}_l^+ \hat{e}_l^- (\hat{e}_l^+ u_{l-1}(r)) = ((2(l-1) + 3) + \epsilon_{l-1}) (\hat{e}_l^+ u_{l-1}(r))$$

Видно, что уравнения переходят в друг друга, если ввести обозначения :

$$w_l = \hat{e}_l^- u_l(r) = \Gamma_l^- u_{l-1}(r)$$

$$v_l = \hat{e}_l^+ u_{l-1}(r) = \Gamma_l^+ u_l(r)$$

Таким образом,  $\hat{c}_l^+$  и  $\hat{c}_l^-$

– повышающий и понижающий операторы по орбитальному числу в задаче о гармоническом осцилляторе. Это означает, что если мы знаем волновые функции  $u_{nl}(r)$  для  $l=0$  и для всех номеров уровней  $n$ , то можем,

применяя повышающие операторы  $\hat{c}_l^+$ , найти все волновые функции  $u_{nl}(r)$  с  $l > 0$ .

При этом должно выполняться равенство:

$$(2l-1) + \epsilon_l = (2(l-1) + 3) + \epsilon_{l-1}.$$

Отсюда находим:

$$\epsilon_l = \epsilon_{l-1} + 2.$$

Окончательно:

$$\epsilon_l = 2l + \epsilon_0$$

Задача с  $l=0$ .

$$-\frac{\partial^2}{\partial \xi^2} u(\xi) + \xi^2 u(\xi) = \epsilon u(\xi)$$

Это уравнение совпадает с уравнением для одномерного гармонического осциллятора с тем отличием, что при  $r = 0$  должно выполняться граничное условие:

$$u(0) = 0.$$

В силу того, что волновые функции одномерного гармонического осциллятора распадаются на два класса

– четные и нечетные (потенциал гармонического осциллятора – четная функция), то нужные нам решения, удовлетворяющие граничному условию

$$u(0) = 0$$

нечетными волновыми функциями одномерного гармонического осциллятора. Т.е.

$$u_{n0}(r) = \left| \begin{array}{c} \hat{a}^+ \hat{a}^+ \cdots \hat{a}^+ \\ | \quad 2n-1 \text{ раз} \end{array} \right| u_{00}(r), \quad u_{00}(x) = C e^{-\frac{r^2}{2r_0^2}}, \quad r_0 = \sqrt{\frac{\hbar}{\mu\omega}}, \quad n=1, 2, \dots$$

здесь

$$\hat{a}^+ = \frac{1}{\sqrt{2}} \left( \frac{r}{r_0} - r_0 \frac{\partial}{\partial r} \right)$$

– повышающий оператор одномерного гармонического осциллятора.

Общее решение теперь можно записать так:

$$u_{nl}(x, y) = \hat{c}_l^+ \hat{c}_{l-1}^+ \cdots \hat{c}_1^+ \hat{a}^+ \hat{a}^+ \cdots \hat{a}^+ \psi_{00}(r), \quad \psi_{00}(r) = C e^{-\frac{r^2}{2r_0^2}}$$

Соответственно, находим значения собственных энергий:

$$\epsilon_{l,n} = 2l + 2n + 1, \quad n=0, \dots, \infty, \quad l=0, \dots, \infty$$

$$E_{nl} = \hbar\omega \left( n + l + \frac{1}{2} \right)$$

В частности:

$$n=1, l=0 : \quad u_{10}(r) = C \frac{r}{r_0} e^{-\frac{r^2}{2r_0^2}} = C \xi e^{-\frac{\xi^2}{2}}$$

$$n=1, l=1 : \quad u_{11}(\xi) = C \left( \frac{1}{\xi} + \xi - \frac{\partial}{\partial \xi} \right) \xi e^{-\frac{\xi^2}{2}} = 2C \xi^2 e^{-\frac{\xi^2}{2}}$$

$$n=1, l=2 : \quad u_{12}(\xi) = 2C \left( \frac{2}{\xi} + \xi - \frac{\partial}{\partial \xi} \right) \xi^2 e^{-\frac{\xi^2}{2}} = 4C \xi^3 e^{-\frac{\xi^2}{2}}$$

Нормировочный коэффициент  $C$  вычислите самостоятельно, можно с помощью вычисления в Maple.

Вычислите волновые функции состояний

$u_{20}(\xi)$ ,  $u_{21}(\xi)$  и  $u_{22}(\xi)$ . Постройте графики этих функций, а также функций:

$$R_{20}(r) = \frac{1}{r} u_{20}\left(\frac{r}{r_0}\right), \quad R_{21}(r) = \frac{1}{r} u_{21}\left(\frac{r}{r_0}\right), \quad R_{20}(r) = \frac{1}{r} u_{22}\left(\frac{r}{r_0}\right)$$

>  $u[1, 0] := (\text{xi}) \rightarrow \text{xi} * \exp(-\text{xi}^2/2) * C;$

$$u_{1,0} := \xi \rightarrow \xi e^{-\frac{1}{2}\xi^2} C$$

(18)

>  $u[1, 1] := (\text{xi}, \text{eta}) \rightarrow -\text{subs}(\text{y}=\text{xi}, \text{diff}(u[1, 0](\text{y}), \text{y})) + (\text{xi}+1/\text{xi}) * u[1, 0](\text{xi});$

$u[1, 2] := (\text{xi}, \text{eta}) \rightarrow -\text{subs}(\text{y}=\text{xi}, \text{diff}(u[1, 1](\text{y}), \text{y})) + (\text{xi}+2/\text{xi}) * u[1, 1](\text{xi});$

$$u_{1,1} := (\xi, \eta) \rightarrow -\text{subs}\left(y=\xi, \frac{d}{dy} u_{1,0}(y)\right) + \left(\xi + \frac{1}{\xi}\right) u_{1,0}(\xi)$$

$$u_{1,2} := (\xi, \eta) \rightarrow -\text{subs}\left(y=\xi, \frac{d}{dy} u_{1,1}(y)\right) + \left(\xi + \frac{2}{\xi}\right) u_{1,1}(\xi)$$

(19)

```

> u[1,0](xi);
simplify(u[1,1](xi));
simplify(u[1,2](xi));

$$\xi e^{-\frac{1}{2}\xi^2} C$$


$$2\xi^2 e^{-\frac{1}{2}\xi^2} C$$


$$4\xi^3 e^{-\frac{1}{2}\xi^2} C$$


```

(20)

**Строим графики нескольких первых собственных функций с фиксированной энергией**

```

> C:=1; # Вычислите нормировку функций самостоятельно
C := 1

```

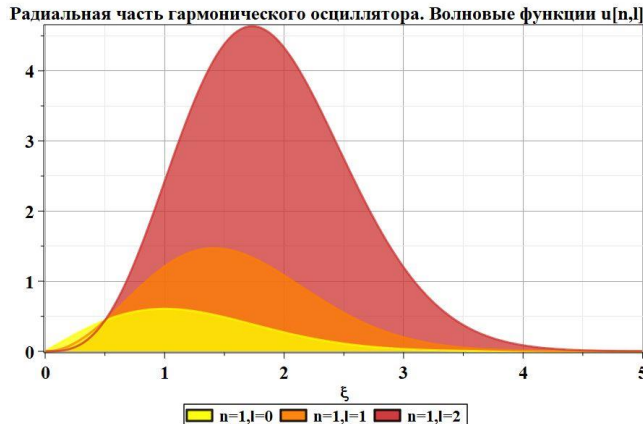
(21)

```

> picHO00u:=plot([u[1,0](xi),u[1,1](xi),u[1,2](xi)],xi=0..5,title="Радиальная часть гармонического осциллятора.
Волновые функции u[n,l]",transparency=0.25,thickness=3,color=[yellow,coral,orange],filled=true,frm,legend=["n=1,l=0 "," n=1,l=1 "," n=1,l=2 "]);

```

```
> display(picHO00u);
```

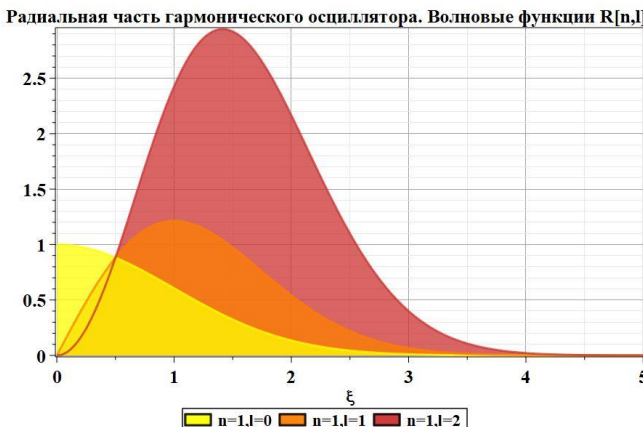


```

> picHO00R:=plot([u[1,0](xi)/xi,u[1,1](xi)/xi,u[1,2](xi)/xi],xi=0..5,title="Радиальная часть гармонического
осциллятора. Волновые функции R[n,l]",transparency=0.25,thickness=3,color=[yellow,coral,orange],filled=true,
frm,legend=[" n=1,l=0 "," n=1,l=1 "," n=1,l=2 "]);

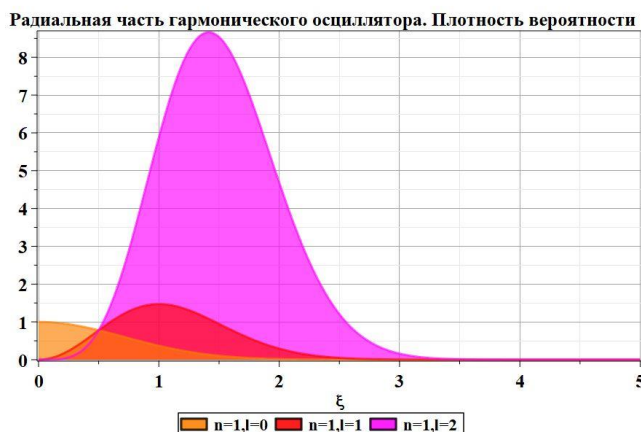
```

```
> display(picHO00R);
```



```
> picHO00R2:=plot([u[1,0](xi)^2/xi^2,u[1,1](xi)^2/xi^2,u[1,2](xi)^2/xi^2],xi=0..5,title="Радиальная часть гармонического осциллятора. Плотность вероятности",transparency=0.35,thickness=3,color=[coral,red,magenta],filled=true,frm,legend=[" n=1,l=0 "," n=1,l=1 "," n=1,l=2 "]):
```

```
> display(picHO00R2);
```



### ЗАДАЧИ ДЛЯ САМОСТОЯТЕЛЬНОГО РЕШЕНИЯ

#### Задача 1

Найдите волновые функции и энергии в сферической яме бесконечной шлубины для  $l=2$   
Постройте графики волновых функций и плотности вероятности радиальной части.

#### Задача 2

Найдите волновые функции и энергии в сферическом осцилляторе для  $n=2$  и  $l=0,1,2$   
Постройте графики волновых функций и плотности вероятности радиальной части.